

ラットくも膜下出血モデルにおける脳血管攣縮のメカニズム
-コレステロールによる制御機構-

吉野 弘子

山口大学大学院医学系研究科
脳神経外科学分野(脳神経外科学)

2014年2月

抄 錄

背 景 : こ れ ま で 、
sphingosylphosphorylcholine-Rho-kinase
系 が 引 き 起 こ す 血 管 撃 縮 が コ レ ス テ ロ ー ル に コ や し 、
よ っ て 制 御 さ れ は 細 胞 と 膜 上 に メ イ ン ト ト い ラ に 存 在 、
レ 力 テ ス ベ オ ラ 一 と 呼 ば れ る 膜 下 に デ ル (S A H m o d e l) が 引 き お
細 胞 内 情 報 伝 達 に 関 与 し て い る 。 本 研 究 で は 、 起 よ
く も 下 血 モ デ ル に お け る コ レ ス テ ロ ー ル が 一 た 。
こ す 脳 管 撃 縮 お ら の 関 与 を テ 検 討 し た 。び ラ フ ト ・ 力 ベ

方法：SDラットを正常群（餌：F1飼料）、コレステロール食群（餌：F1飼料+1%コレステロール+1%コール酸）、 β -サイクロデキスリシン（CD）群（高コレステロール食、5% β -CD（コレステロール除去剤）を添加）に分けた。各群でSAH modelを作成し、cranial window法を用いて脳底動脈径を測定した。ガスクロマトグラフ法を用いて各群の濃度を測定し、内頸動脈を各群の発現部位に抗體を用いて認識し、特異的にオーバーする現象を観察した。Flotillin-1（ラフトに特異的蛋白質）とCaveolin-1（カベオラル蛋白質）を認識するwestern blottingにて各群の発現している蛋白質を確認した。結果：高コレステロール食群では、内頸動脈内に著明な増強が認められ、SAH modelにて各群の発現度が有意に上昇した。コレステロールレベルは、コレステロール群では血管平滑筋ににおけるFlotillin-1とCaveolin-1の蛋白質レベルが有意に上昇し、 β -CD群ではそれらが抑制された。

考 察 : S A H で 再 現 さ れ る 脳 血 濃 度 の 上 升 は 血 管 ラ フ 性
滑 筋 内 の 総 コ レ ス テ ロ 一 ル い 増 強 さ れ る 可 能 性
ト ・ 力 ベ オ ラ の 形 成 に 伴 い 増 強 さ れ る 可 能 性
が 示 呼 さ れ た 。

緒 言

脳血管攣縮はくも膜下出血 (Subarachnoid Hemorrhage: SAH) に続發する主要脳血管の病的な機能的収縮であり、くも膜下の頻度で梗管を発塞する。4日～14日のうちにおよそ3～7割の頻度で脳血管攣縮が発生する。この発生機序はまだ不明である¹⁾。現時点れども、この梗管では確実に寛解させうる治療法はない。従つて in vitro 系における研究のほか、in vivo 系（特に SAH model による研究）における血管攣縮の観察・研究は脳血管攣縮発生機序の解明に大きく寄与すると考えられる²⁾。

血管平滑筋は細胞内 Ca^{2+} 濃度の上昇を伴う筋収縮機構による。このカルシウム依存性受容器は、細胞内 Ca^{2+} 濃度の上昇を伴う病的状態によるものである。このカルシウム依存性受容器は、Rho-kinase で、ミオシンホスファンゲル化して不活性化し、ミオシンを活性化レベルを上昇させ血管収縮を引き起こす^{3) 4)}。これまで、スフィンゴ脂質の一種であるスフィンゴシルホスホリルコリニン (sphingosylphosphorylcholine: SPC) が Rho-kinase の上流因子として血管攣縮を引き起こす^{4) 5)}、更に、その病的な血管攣縮を引き起こす因子としてレバーチョラーゼが報告されている⁶⁾。高脂血症は脳血管の主要な危険因子である⁷⁾。コレステロールやスフィンゴ脂質は細胞膜上に存在するラフトや力ベオラの細胞内情報伝達に関与すると考えられている⁸⁾。スタチントンは 3-hydroxy-3-methylglutaryl coenzyme A reductase (HMG-CoA 還元酵素)

るさがら症こ示
い善果れ血起が
れを制
て改効こ脂き在
ら血抑
い虚の 9) - 11) 。高引存
用脳縮
にて撃るに形機構
療つ管い縮の御
治よ血て撃
のに脳れ管オラ
症果のさ血ベオラ
脂護血告、脳力ベ
害のもと告るラフト
阻そくる報よ
剤神膜いか
で経下うら
高保出報は
Rho-kinase を介
され
る。

本研究では、正常ラットと高コレステロール食投与ラットを用いても膜下出血モデル(SAH model)を作成し、脳血管攣縮におけるコレステロールおよびラフト・オラの関与を検討する。

方 法

實驗動物：

雄の Sprague-Dawley ラット（5週）を通常の餌（F1 飼料）で飼育した正常群、高コレステロール食（F1 飼料 + 1% コレステロール + 1% コール酸）で飼育した高コレステロール食群、コレステロール除去剤（ β -サイクロデキストリン（ β -CD））を 5% 添加した高コレステロール食で飼育した β -CD 群に分けた。各週間投与した。今回の実験計画は山口大學生（使用動物使用委員会の了承を得て）いる（使用計画書番号 51-030）。

麻 醉 :

手術前処置（ハロセン4%，笑気70%，酸素30%）にて前麻酔をかけた。ラットを仰臥位とし、気管内挿管（SAH model）または気管切開（cranial window model）を行い人工呼吸管理下に全身麻酔（ハロセン1.0～1.5%，笑気70%，酸素30%）に移行した。左側の大腿動脈に血圧測定・血液サンプル採取用の動脈ラインを留置し、動脈血液中の酸素分圧と二酸化炭素分圧をそれぞれ150-240 mmHgと35-42 mmHgの範囲に維持した。実験中は、

センサ一付き温マットを用し直腸温を
37.0°Cに維持した。

Cranial window model の作成：

ラットの頭部を仰臥位で固定した。気管・頸動脈・迷走神経を損傷しないよう丁寧に周囲の筋組織と皮下組織を剥離し、頭蓋底を露出出しデジタルドリルにて 6×3 mm の開頭を設け cranial window (7×4 mm) を留置した。Cranial window には 3 本のカテーテル（人工脊髄液の注入ルート、排液ルート、および脳圧測定ルート）を留置した（図 3）。Cranial window 内に人工脊髄液を注入し、人工脊髄液灌流下に硬膜とくも膜を切開・剥離し、cranial window 内に脳底動脈を露出させた。Cranial window 内を人工脊髄液で満たし、カバーガラス（直径 5.0 mm）を設置し cyanoacrylate glue を用いて密閉して人工脊髄液を持続灌流させた。Cranial window に留置した排液ルートの高さを調節し、脳圧は 9.5-10.5 cm H₂O の範囲に維持した。人工脊髄液（組成：Na⁺, 151 mEq/L; K⁺, 4 mEq/L; Ca²⁺, 3 mEq/L; Cl⁻, 110 mEq/L; glucose, 100 mg/dL）は 37.0 °C の恒温槽で温め、5% CO₂ のバブリングで pH を 7.48 に調節した。

脳底動脈は顕微鏡（model SZX16-3111, Olympus）に搭載されたデジタルカメラ（model DP71-SET-A, Olympus）で動画撮影され、ビデオマイクロメーターを用いて血管径 (μm) を計測し、その変化 (%) を計算し、統計解析（Student's paired t test, Mann-Whitney U test）にて判定した (p < 0.05 にて有意差ありと判定)。ラット脳底動脈径の計測は、各々の刺激（人工脊髄液の注入、Rho-kinase 阻害剤 (Y27632) の投与、SAH の除去操作）に対する血管の反応が安定してから行つた。血管径の各値は 10 秒間隔で 13 回連続計測した結果の平均値とし、各血管径は 30 分間以上安定していた。

S A H model の 作 成 :

ラットの頭部を腹臥位で固定し、頸部を屈曲させた。頭頸部の筋層を剥離し cisterna magna の硬膜を露出した。硬膜に 27-gauge needle を挿入し 0.3 ml の脳脊髄液を吸引後、動脈ルートより採取した 0.3 ml の自家血を 3 分間かけて注入した。自家血の注入後、27-gauge needle 挿入部に cyanoacrylate glue を塗布した。筋層および皮膚を layer to layer に縫合し腹臥位で頭部を屈曲し(30°)、60分間安静にした(最初の自家血注入日を Day 0 とする)。同様の操作を Day 2 にも行った(double hemorrhage model)。Day 5 に上述の方法で cranial window を設置し、脳底動脈を観察した。

実験プロトコール:

- ① 各群のラットを用いくも膜下出血群(double hemorrhage model)を作成した。Day 5 に cranial window を設置し脳底動脈径を経時的に測定し評価した。コントロール群として自家血を注入しない正常ラットを使用した。
- ② 正常ラットのくも膜下出血群では Day 5 に引き起こされる脳底動脈径の変化(狭小化)に対して、Y27632 を cranial window 内に灌流する人工脊髄液内に 10 μM の濃度で注入し、その抑制効果を検討した。
- ③ 正常ラットのくも膜下出血群を用い Day 5 に 4% パラホルムアルデヒド溶液にて灌流固定し、脳底動脈・前下小脳動脈分岐部にて脳切片を作成し Hematoxilin-Eosin (HE) 染色と Azan 染色を行い顕微鏡下で観察した。
- ④ 各群のラットを用い、全身麻酔・人工呼吸管理下に内頸動脈を採取し、内頸動脈の外膜を丁寧に剥離・除去し検体を作成した。
- ⑤ ④で採取した検体を均質化し、有機溶媒(クロロホルム / メタノール / 水; 体積比 1:2:0.8)抽出後にガスクロマトグラフ法を

用いて総コレステロール濃度 (mg/g) を測定した。また、同じ検体に対して薄層クロマトグラ法を用いて phosphatidylcholine 濃度 (mg/g) を測定した。phosphatidylcholine は細胞膜リン脂質の主成分であり、ラフトやカベオラの構成成分に対するコントロールとして評価した。

- ⑥ ④で採取した検体に対して Flotillin-1 (ラフトに特異的に発現している蛋白質) と Caveolin-1 (カベオラに特異的に発現している蛋白質) を用いた western blotting にてラフトとカベオラの形成を確認した。 β -actin の発現レベルを基準とした。

結果

S A H model における生理学的パラメータ：

表 1 にコントロール群における S A H の経時的 (Day 0, Day 2, Day 5) な生理学的検査結果を示す。S A H model では、経時的に平均動脈圧の上昇が認められ、Day 5 では統計学的に有意差 ($p < 0.05$) が認められた。

血管平滑筋内における総コレステロール濃度：

ガスクロマトグラ法による各群 ($n = 5$) の血管平滑筋内における総コレステロール濃度は高コレステロール食群で有意に高く、 β -CD 群では総コレステロール濃度の上昇は抑制された (図 1)。薄層クロマトグラ法を用いた血管平滑筋内の phosphatidylcholine 濃度は各群 ($n = 5$) で有意な差は認められなかつた (図 1)。この結果は高コレステロール食で飼育したラットでは内頸動脈の組織内コレステロールレベルが上昇し、 β -CD 含有の高コレステロール食で飼育したラットでは高コレステロール食による内頸動脈内コレステロールレベルの上昇が抑制されたことを示唆する。各

群のラットの体重(g)は正常群が 393.6 ± 27.9 で、高コレステロール食群が 460.0 ± 56.0 で、 β -CD群が 401.5 ± 31.1 であり、高コレステロール食群で統計学的に有意な増加が認められた($p < 0.05$)。これらの結果からも高コレステロール食投与におけるコレステロール摂取率の上昇が β -CDによって抑制されたことが示唆された。

血管平滑筋におけるラフト・カベオラの形成：
各群($n = 5$)の内頸動脈に対するwestern blottingの結果、高コレステロール食群では正常群と比較して有意にFlotillin-1とCaveolin-1の蛋白質レベルが高かった。また、 β -CD群では高コレステロール食群で認められたFlotillin-1とCaveolin-1の蛋白質レベルの有意な上昇は抑制された(図2)。この結果は、高コレステロール食群では血管平滑筋が促進され、 β -CD群では高コレステロール食群で認められたラフトとカベオラの形成の促進が抑制される法によりることを示す。薄層クロマトによる細胞膜リン脂質の主成分であるphosphatidylcholine濃度は各群で変化がなかった。ラフトとカベオラはphosphatidylcholineが主成分であるから血管平滑筋内における細胞膜リン脂質の主成分であるphosphatidylcholineが多くの結果から上昇が示唆された。

SAH modelにおける脳血管攣縮：

図3はCranial windowを用いたラット脳底動脈の観察結果を示している。正常群のSAHを発症していない脳底動脈径は 358.9 ± 32.0 (μm)であったが($n = 17$)、SAH model(Day 5)では 302.2 ± 38.4 (μm)であり($n = 9$)、15.8%の脳血管攣縮が認められた(図3, $p < 0.01$)。正常群のSAH model(Day 5)に対し

て Rho-kinase 阻害剤の Y27632 (10 μM) を cranial window 内に灌流する人工脊髄液内に 10 μM の濃度で注入し投与すると (n = 4)、脳底動脈径の平均は 376.4 ± 19.5 (μm) となり、拡張血管の弛緩が認められた (図 3, p < 0.05)。高コレステロール食群の SAH model (Day 5) では脳底動脈径は 248.1 ± 34.6 (μm) であり (n = 6)、正常群の SAH model (Day 5) と比較して著明な脳血管拡張が認められた (図 3, p < 0.05)。一方、β-CD 群の SAH model (Day 5) では脳底動脈径の平均は 305.4 ± 25.3 (μm) となり (n = 6)、コレステロールの負荷が引き起こす血管拡張の増悪は抑制された (図 3, p < 0.05)。SAH model の結果と各群における内頸動脈のコレステロールレベルや Flotillin-1 と Caveolin-1 の発現の結果から、血管平滑筋のコレステロールレベルの上昇がラットやカベオラの形成を促し、結果として脳血管拡張が増強することが示唆された。組織所見としては、脳血管拡張に特徴的な内弹性板の皺縮 (corrugation of tunica elastica) が正常ラットの SAH model (Day 5) で認められた (図 4)。

考 察

著者が今回作成したラット SAH model では Day 5 に脳血管拡張が再現された。また、組織学的検討でも脳血管拡張に特徴的な内弹性板の皺縮が確認できた。これまでのラット SAH model を用いた報告では、Lu H^{1,2)ら}によつて再現された脳血管拡張は Day 5 で最も強く、その狭窄率は 23.3% であった。Zhou M L^{1,3)ら}によれば、ウサギの single hemorrhage model と double hemorrhage model で脳血管拡張の程度・経過・臨床症状・くも膜下腔の残存血腫を比較した結果、double hemorrhage model で脳血管拡張の再現性が高いことが判明している。今回作成した SAH

model もこの double hemorrhage model で脳底動脈の狭窄率はこれまでの報告と同等であった。今回の中 SAH model では Rho-kinase 選択的阻害剤 Y27632 を投与することで、は血管の拡張が認められた。Rho-kinase 病的縮血管による病的狭窄もしくは血管の収縮機構による脳血管狭窄の原因として考へられる。上記の結果を含め、経時的な血圧変動所見からも今回著者が作成した SAH model は脳血管狭窄の再現性が高いモデルであることを示唆された。

穿入デ方実脳径管今 window 膜な下血かのをし
刺すル循際動は平回
に注モ前、大管血。運攀り
底をのるれ中血、い
蓋血これさや、りな
頭家。¹⁴⁾ 前自ら現脈がなさ
からに認め再動るに適
て高のる可するル一試がに評連の縮。
頭部からに血大でこにはルを能すの的デ動
かに脳あとはル投でる報ナルの
cranial 一与あ研告血は評
下題をで評たた濃の管た影、滑ら
SAH 腔と評検価モ力度評攀血で今筋れ
SAH model には前頭部からに血大でこにはルを能すの的デ動
SAH 下題をで評たた濃の管た影、滑ら
SAH 血学のが挿に收後影脳用管し管考
SAH モデルも報告されでへな価討すデテの価縮管は回収た
SAH の織筋者に腔管血撮、価めい
SAH の系のモはヒトの膜間縮価をしれな動血い撮く平え
SAH 組滑著内下血出管し評含て

高脂血症は脳血管病の危険因子であり⁷⁾、血管平滑筋におけるプロテーゼや血栓の形成と、いつた病態が、高脂血症が引き起こす心血管や脳血管イベントと深く関わつてゐる¹⁸⁾⁻²⁰⁾。Rho-kinaseの活性化を介するカルシウム非

い出の結フ縮血れを二る
つ下症のラ攀、さル力い
に膜血々る管は導ナメて
縮も脂我け血後誘グ御え
く高のおな今らシ制考
管管管管管
2) 4) 2 1)
ム今筋病たラす縮い
ズ。滑しれ才介攀た
ニい平進さラを管き
血が力な管促唆ベ
高るメは血を示や力化
とれの告が成がト活
機め攀の血の能ト活
構ら縮報症形性性とし
縮認管て脂ラ可ラにり
機め攀の血の能ト活
収は血い高才るのラに詳
性告脳つ、べす筋細よ
存報のにら力御滑Rho-kinase
依の後係かや制平りム

結語

引用文献

- 1) Kassell NF, Sasaki T, Colohan AR, Nazar G. Cerebral vasospasm following aneurysmal subarachnoid hemorrhage. *Stroke*. 1985; 562-572.
- 2) Sato M, Tani E, Fujikawa H, Kaibuchi K. Involvement of Rho-kinase-mediated phosphorylation of myosin light chain in enhancement of cerebral vasospasm. *Circ Res*. 2000; 87:195-200.
- 3) Kawamichi H, Kishi H, Kajiya K, Takada Y, et al. Molecular mechanisms of abnormal vascular contraction and the screening for their molecular-targeted therapeutic drugs. *Nippon Yakurigaku Zasshi*. 2009 Mar; 133(3):124-129.
- 4) Shirao S, Kashiwagi S, Sato M, Nakao F, et al. Sphingosylphosphorylcholine is a novel messenger for Rho-kinase-mediated Ca^{2+} -sensitization in the bovine cerebral artery: unimportant role for protein kinase. *Circulation Research*. 2002; 91:112-119.
- 5) Nakao F, Kobayashi S, Mogami K, Mizukami Y, et al. Involvement of Src family protein tyrosine kinase in Ca^{2+} sensitization of coronary artery contraction mediated by a sphingosylphosphorylcholine-Rho-kinase pathway. *Circ Res*. 2002; 91:953-960.
- 6) Morikage N, Kishi H, Sato M, Guo F, et al. Cholesterol primes vascular smooth muscle to induce Ca^{2+} sensitization mediated by a sphingosylphosphorylcholine-Rho-kinase pathway: possible role for membrane raft. *Circulation Research*. 2006; 99: 299-306.
- 7) Turan TN, Makki AA, Tsappidi S,

- Cotsonis G, et al. Risk factors associated with severity and location of intracranial arterial stenosis. *Stroke* 2010; 41:1636-1640.
- 8) Das M, Gherghiceanu M, Lekli I, Mukherjee S, Popescu LM, Das DK. Essential role of lipid raft in ischemic preconditioning. *Cell Physiol Biochem*. 2008; 21:325-334.
- 9) Sterzer P, Meintzschel F, Rösler A, Lanfermann H, et al. Pravastatin improves cerebral vasomotor reactivity in patients with subcortical small-vessel disease. *Stroke* 2001; 32:2817-2820.
- 10) Tseng MY, Czosnyka M, Richards H, Pickard JD, et al. Effects of acute treatment with pravastatin on cerebral vasoconstriction, autoregulation, and delayed ischemic deficits after aneurysmal subarachnoid hemorrhage: a phase II randomized placebo-controlled trial. *Stroke* 2005; 36:1627-1632.
- 11) Tseng MY, Hutchinson PJ, Turner CL, Czosnyka M, et al. Biological effects of acute pravastatin treatment in patients after aneurysmal subarachnoid hemorrhage: a double-blind, placebo-controlled trial. *J Neurosurg*. 2007; 107:1092-1100.
- 12) Lu H, Shi JX, Chen HL, Hang CH, et al. Expression of monocyte chemoattractant protein-1 in the cerebral artery after experimental

- subarachnoid hemorrhage; Brain Res. 2009 Mar 25; 1262:73-80.
- 13) Zhou ML, Shi JX, Zhu JQ, Hang CH, et al. Comparison between one- and two-hemorrhage models of cerebral vasospasm in rabbits. J Neurosci Methods. 2007; 159:318-24
- 14) Sabri M, Jeon H, Ai J, Tariq A, et al. Anterior circulation mouse model of subarachnoid hemorrhage. Brain Res. 2009; 1295: 179-185
- 15) Kaewprasert S, Okada M, Aoyama Y. Nutritional effects of cyclodextrins on liver and serum lipids and cecal organic acids in rats. J Nutr Sci Vitaminol (Tokyo). 2001; 47:335-339.
- 16) Michel V, Bakovic M. Lipid rafts in health and disease. Biol Cell. 2007; 99:129-140.
- 17) Bessho S, Bawa D, Teves L, Wallace MC, et al. Increased phosphorylation and redistribution of NMDA receptors between synaptic lipid rafts and post-synaptic densities following transient global ischemia in the rat brain. J Neurochem. 2005; 93:186-194.
- 18) Brown BG, Zhao XQ, Sacco DE, Albers JJ. Lipid lowering and plaque regression. New insights into prevention of plaque disruption and clinical events in coronary disease. Circulation 1993; 87:1781-1791.
- 19) Lacoste L, Lam JY, Hung J, Letchacovski G, et al. Hyperlipidemia and coronary disease. Correction of the

increased thrombogenic potential with cholesterol reduction. Circulation 1995; 92: 3172 - 3177.

20) U-King-Im JM, Young V, Gillard JH. Carotid artery imaging in the diagnosis and management of patients at risk of stroke. Lancet Neurol. 2009; 8: 569 - 580.

21) Uehata M, Ishizaki T, Satoh H, Ono T, et al. Calcium sensitization of smooth muscle mediated by a Rho-associated protein kinase in hypertension. Nature 1997; 389: 990 - 994.

The Mechanism of the Cerebral
Vasospasm in a Rat Subarachnoid
Hemorrhage Model.

- Mechanistic Role of Cholesterol in the
Regulation of Vasospasm -

Yoshino Hiroko

Department of Neurosurgery,
Yamaguchi University School of Medicine

Objective: Rho-kinase (ROK)-mediated vascular smooth muscle (VSM) contraction plays a pivotal role in cerebral vasospasm (CV). Previous studies showed that hypercholesterolemia increased sphingosylphosphorylcholine-ROK-mediated VSM contraction. Lipid rafts and caveolae are cholesterol-enriched membrane microdomains that influence signal transduction. In this study, we showed the effect of cholesterol, lipid raft, and caveolae on CV.

Methods: Sprague-Dawley rats received a control diet, a cholesterol-diet, or a cholesterol-diet + β -cyclodextrin, which depletes VSM cholesterol, for 8 weeks, and were subjected to SAH model surgery. We used double-hemorrhage SAH model, and CV of basilar artery (BA) at Day 5 were measured using cranial window preparations. Total cholesterol levels in the internal carotid artery (ICA) were measured using gas chromatography. The expression of Flotillin-1, a planar raft marker, and Caveolin-1, a caveolae marker,

in the ICA were analyzed by western blotting.

Results: SAH-induced CV was markedly reversed by intracisternal infusion with Y27632 (10 μ M), a ROK-inhibitor. Whereas the cholesterol-diet increased VSM cholesterol and CV, depletion of VSM cholesterol inhibited CV. The cholesterol-diet also increased Flotillin-1 and Caveolin-1 expression in the VSM. Depletion of VSM cholesterol also inhibited the increasing of Flotillin-1 and Caveolin-1 expression.

Conclusions: These results indicate that cholesterol potentiates CV and are compatible with a role for lipid rafts and caveolae in this process.

図の説明

表 1 . S A H model における生理学的パラメータの変化

M A B P = Mean arterial blood pressure ;
P a C O₂ = partial pressure of carbon dioxide in arterial blood ; P a O₂ = partial pressure of oxygen in arterial blood ; B T = body temperature

図 1 . 血管平滑筋内の総コレステロール濃度
血管平滑筋内の総コレステロール濃度は高コレステロール食群で正常群やβ-CD群と比較して有意に高く(a)、血管平滑筋内のphosphatidylcholine濃度は各群で有意な差は認められなかつた(b)。

a) 血管平滑筋内の総コレステロール濃度
b) 血管平滑筋内のphosphatidylcholine濃度

Control : 正常群 (n = 5), Cholesterol : 高コレステロール食群 (n = 5), β - CD : β - CD 群 (n = 5).
* p < 0.05

図 2 . Flotillin-1 と Caveolin-1 の発現 (western blotting)

血管平滑筋内のFlotillin-1(a)とCaveolin-1(b)の蛋白質レベルは高コレステロール食群では正常群と比較して有意に高かつた。また、β-CD群では高コレステロール食群で認められたFlotillin-1(a)とCaveolin-1(b)の蛋白質レベルの有意な上昇は抑制された。

Control : 正常群 (n = 5), Cholesterol : 高コレステロール食群 (n = 5), β - CD : β - CD 群 (n = 5).
** p < 0.05

図 3. SAH model における脳血管攣縮
(cranial window 法)

(A) 頸部を剥離し頭蓋底を露出させ、cranial window を設置した模式図。髄液注入・排出ルートから人工脊髄液を灌流・排泄させ、脳圧測定ルートで脳圧を一定値に保ち、脳底動脈径を測定した。

(B) 正常群では、SAH model (Day 5) にて脳底動脈の攣縮が認められた (a, b)。正常群の SAH model (Day 5) に対して Y27632 (10 μM) を投与すると、脳底動脈の血管攣縮の改善が認められた (c)。高コレステロール食群の SAH model (Day 5) では、正常群の SAH model (Day 5) と比較して著明な脳底動脈の攣縮が認められた (d)。β-CD 群の SAH model (Day 5) では脳底動脈の血管攣縮の増悪は抑制された (e)。

a) SAH を発症していない脳底動脈 (正常群)

b) SAH (Day 5) の脳底動脈 (正常群)

c) SAH (Day 5), Y27632 (10 μM) 投与後の脳底動脈 (正常群)

d) SAH (Day 5) の脳底動脈 (高コレステロール食群)

e) SAH (Day 5) の脳底動脈 (β-CD 群)

スケール幅は 500 μm。

(C) 正常群 ($n = 9$) では、SAH model (Day 5) にて脳底動脈の攣縮 (血管径 : 302.2 ± 38.4 (μm)) が認められた。正常群の SAH model (Day 5) に対する Y27632 (10 μM) の投与の結果、脳底動脈径の平均は 376.4 ± 19.5 (μm) となり攣縮血管の弛緩が認められた ($n = 4$)。高コレステロール食群 ($n = 6$) の SAH model (Day 5) では脳底動脈径は 248.1 ± 34.6 (μm) であり、正常群の SAH model (Day 5) と比較して著明な脳血管攣縮が認められた。β-CD 群 ($n = 6$) の SAH model (Day 5) では脳底動脈径の平均は 305.4 ± 25.3 (μm) となりコレステ

ロールの負荷が引き起こす血管攣縮の増悪は抑制された。

m-CSF : SAH を発症していない脳底動脈径 (正常群), n = 17

m-SAH : SAH (Day 5) の脳底動脈径 (正常群), n = 9

SAH-Y27632 : SAH (Day 5) に Y27632 を投与した脳底動脈径 (正常群), n = 4

m-SAH (chol) : SAH (Day 5) の脳底動脈径 (高コレステロール食群), n = 6

m-SAH (β -CD) : SAH (Day 5) の脳底動脈径 (β -CD群), n = 6

*** : p < 0.01 (対 m-CSF), η : p < 0.05 (対 m-SAH), ηη : p < 0.05 (対 m-SAH (chol)), ηηη : p < 0.05 (対 m-SAH (β -CD)). mean ± sd.

図 4. SAH model における脳血管攣縮 (組織学的評価)

正常群の脳底動脈の組織標本 (HE染色, Azan染色) では、SAH model (Day 5) で脳血管攣縮に特徴的な内弾性板の皺縮 (corrugation of tunica elastica) が認められた (矢印)。

a) 正常群の脳底動脈 (HE染色)

b) SAH model の脳底動脈 (HE染色)

c) 正常群の脳底動脈 (Azan染色)

d) SAH model の脳底動脈 (Azan染色)

corrugation of tunica elastica (arrow).

スケール幅は 50 μm.

図・表

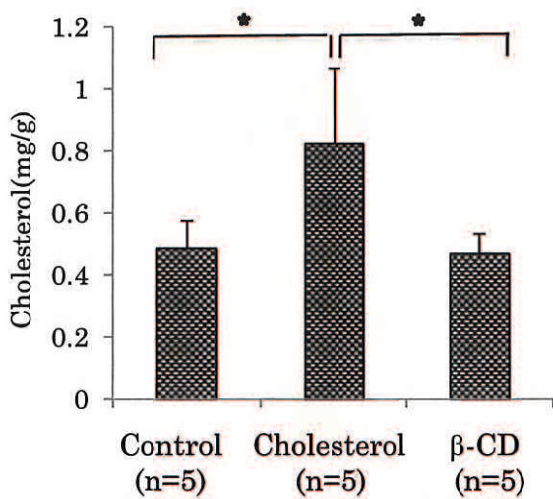
表 1

	SAH (Day 0)	SAH (Day 2)	SAH (Day 5)
MABP (mmHg)	95.5 ± 11.3	106.1 ± 12.1	122.4 ± 19.0 *
pH	7.42 ± 0.04	7.48 ± 0.04	7.44 ± 0.05
PaCO ₂ (mmHg)	40.7 ± 2.5	38.0 ± 2.6	38.3 ± 4.3
PaO ₂ (mmHg)	155 ± 49	182 ± 59	182 ± 83
BT (°C)	37.2 ± 0.2	37.2 ± 0.2	37.2 ± 0.1

mean ± sd, * p < 0.05 (vs. Day 0)

図 1

a)



b)

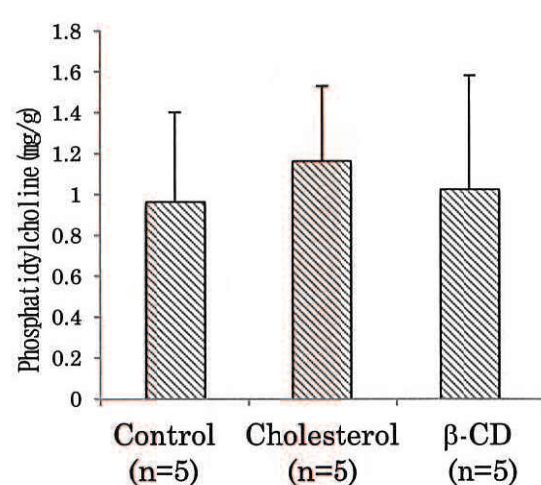
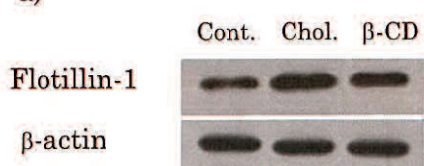
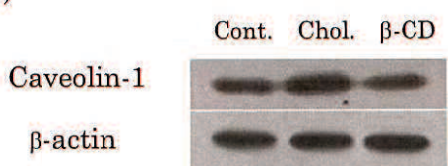


図2

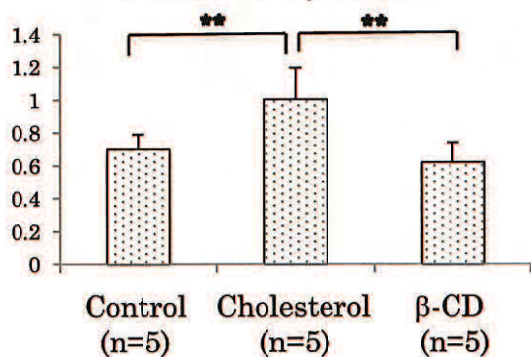
a)



b)



Flotillin-1/β -actin



Caveolin-1/β -actin

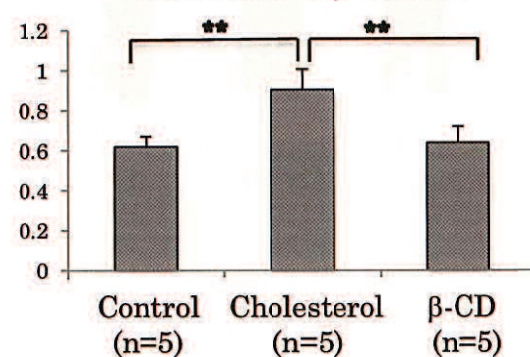
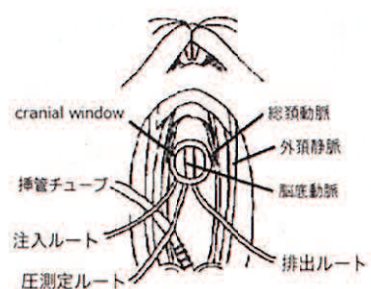
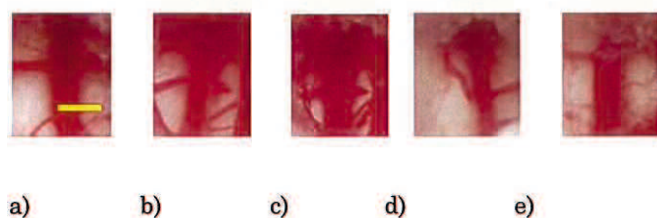


図3

(A)



(B)



(C)

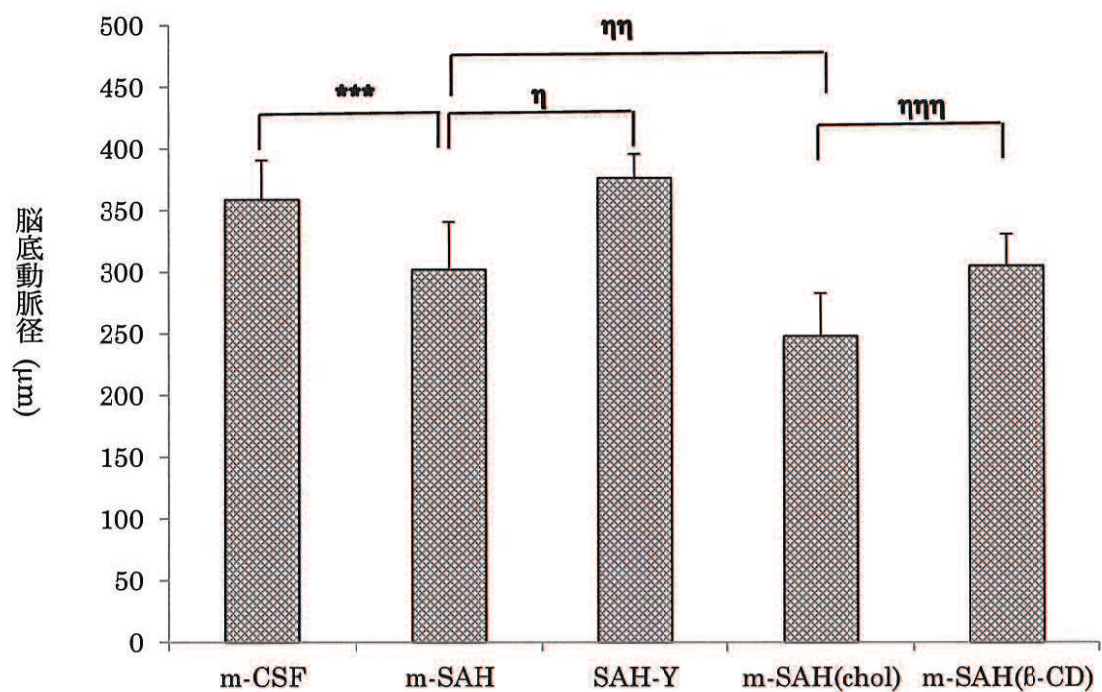


図 4

